

**RAPORT ȘTIINȚIFIC**  
*privind implementarea proiectului în perioada*  
*mai 2013 - octombrie 2015*

**Titlul proiectului: “DETECȚIE ȘI IDENTIFICARE DE BIOMOLECULE DE INTERES MEDICAL UTILIZÂND PROCESE MAGNETICE ȘI OPTICE”**

**Etapa I. Sinteza de micro si nanoparticule magnetice si nemagnetice ca marcheri si suporturi pentru transportul controlat al receptorilor si biomoleculelor tinta implicate in procesul de detectie.**

**Activitatea I.1. Sinteza de nanoparticule magnetice (de ex., magnetita prin utilizarea de metode chimice/fizice).**

Pentru prepararea de nanoparticule magnetice, s-a utilizat o metoda fizico-chimica, utilizandu-se ca precursori ai produsilor de reactie magnetici clorura feroasa ( $\text{FeCl}_2 \cdot 4\text{H}_2\text{O}$ ), clorura ferica ( $\text{FeCl}_3 \cdot 6\text{H}_2\text{O}$ ) si hidroxid de sodiu ( $\text{NaOH}$ ) aflati intr-un raport molar de 1:2:23. Reactivii, achizitionati de la firma Alfa Aesar si utilizati in stare solida, au fost mixati mecanic intr-un mojar de agat timp de cateva minute pentru omogenizare. Apoi, s-a adaugat  $\text{NaOH}$ , utilizat ca agent de precipitare, si s-a mixat continuu. Reactia a fost puternic exoterma, temperatura masurata cu un termoculplu cromel-alumel fiind de peste  $140^\circ\text{C}$ .

Dupa racire la temperatura camerei, proba a fost spalata cu apa bidistilata pana cand pH-ul suspensiei a ajuns 6.5-7. Separarea magnetica a particulelor s-a efectuat cu un magnet permanent NdFeB.

Pentru caracterizare, particulele au fost utilizeaza fie in forma de pulberi, fie in forma coloidala. Pentru caracterizarea nanoparticulelor magnetice sub forma de pulberi, acestea au fost in prealabil uscate la  $85^\circ\text{C}$  timp de 3 ore, iar pentru caracterizarea in stare dispersata, suspensia a fost sonicata in apa distilata, in pulsuri, cu ajutorul unui omogenizator ultrasonic (Hielscher UP50H, Germania), la o amplitudine de 90%.

Marimea particulelor a fost controlata de pH si solubilitatea precipitatului (Mohapatra et al. 2007; Tartaj et al. 2006). Pe de alta parte, o regula generala privind cristalele precipitate din solutii suprasaturate presupune ca marimea medie a cristalului, masurata la sfarsitul cristalizarii, descreste pe masura ce valoarea suprasaturatiei creste (Von Weimarn 1925; Barlow and Baird 2004). Prin urmare, s-a introdus o cantitate crescuta de  $\text{NaOH}$  peste solutia solidă de saruri de fier atat pentru a forta precipitarea rapida a produsilor de reactie si pentru a le pastra o dimensiune redusa, cat si pentru a obtine un pH foarte crescut. De asemenea,

datorita conditiilor specifice de reactie, produsul ionic dintre  $\text{Fe}^{2+}$ ,  $\text{Fe}^{3+}$  si  $\text{OH}^-$  devine mult mai mare decat produsul de solubilitate, favorizand astfel sinteza produsului magnetic.

### **Activitatea I.2. Sinteza de nanoparticule nemagnetice, precum nanoparticule de aur, utilizand metode chimice.**

Pentru prepararea de nanoparticule de aur, s-a utilizat o sare de aur (acid cloroauric) si o solutie de citrat trisodic. Sinteza a presupus urmatoarele etape:

1. Vasele de sticla utilizate in prepararea nanoparticulelor au fost tratate cu acid fluorhidric 10 % timp de 1 minut pentru a indeparta orice contaminare a suprafetei interioare a recipientelor de sticla deoarece urmele de metal sau de saruri conduc la agregarea rapida a nanoparticulelor. Apoi, vasele de reactie au fost clatite cu apa ultrapura de cateva ori, fiind uscate la 70 °C.
2. Agitatorul magnetic a fost curatat cu apa regala (trei parti HCl, o parte  $\text{HNO}_3$ ).
3. 300 ml solutie  $\text{HAuCl}_4$  0.5 mM a fost adusa la temperatura de 100 °C.
4. Peste solutia de mai sus, s-au adaugat rapid 30 ml solutie de citrat trisodic 40 mM, sub agitare puternica (1400 rpm).
5. Dupa cateva secunde, solutia a devenit usor albastra, ulterior virand spre rosu inchis si indicand astfel formarea de nanoparticule de aur.
6. Solutia a fost mentinuta sub agitare, la temperatura de fierbere, inca 30 minute si apoi racita lent la temperatura camerei.

Concentratia finala a particulelor in mediul de reactie, de  $10.8 \cdot 10^{11}$  nanoparticule/ml, a fost calculata tinand cont de masa de acid cloroauric utilizata, de dimensiunea medie a nanoparticulelor si de densitatea aurului.

### **Activitatea I.3. sinteza de microparticule nemagnetice (ca alternativa – achizitia de la o firma comerciala).**

Pentru prepararea de particule nemagnetice s-a considerat o metoda de polimerizare in emulsie a stirenului pentru a obtine microparticule de polistiren.

Polimerizarea in emulsie constă in polimerizarea unui radical liber intr-o reacție heterogenă. La începutul reacției, monomerul este prezent mai ales sub formă de picături, fiind dispersat în faza apoasă. Reacția trebuie să aibă loc sub agitare pentru a menține dispersia monomerului. Dacă emulsificarea este insuficientă, apare o limitare a transferului de masă a monomerului din faza de monomer în faza în care apare creșterea particulelor de polimer.

În ceea ce privește stabilizatorii, unii alcooli polivinilici și alte tipuri de polimeri solubili în apă pot iniția procesul de polimerizare, deși ei nu formează mici și nu acționează ca surfactanți. Se presupune că acești polimeri se grefează pe particulele polimerice și le stabilizează.

Ca surfactanți, cei mai folosiți sunt: acizi grași, lauril sulfat de sodiu și alfa olefin sulfonat. Ca inițiatori de polimerizare cel mai des folosite sunt sărurile de persulfat; ionul

persulfat se scindează în ioni radical sulfat peste o temperatură de 50 °C, determinând începutul polimerizării.

#### *Metoda de preparare*

O faza apoasa constituită din 200 ml apă distilată, 0,1 g dodecil sulfat de sodiu (surfactant), 0,1 g polivinil pirolidona (stabilizator), 20 g glucoza (stabilizator și agent de reducere, impiedicând o posibilă polimerizare rapidă și necontrolată) a fost agitată magnetic timp de o ora la 36 °C.

Peste faza apoasa s-au adăugat 10 ml stiren, sub agitare la 1000 rpm, temperatura fiind ridicată la 70 °C. După 3 ore, s-au adăugat 10 ml soluție de persulfat de potasiu (initiator de polimerizare) 5 g %. Apoi, după 24 ore s-au adăugat încă 10 ml soluție de persulfat de potasiu 5 g %, iar temperatura a fost crescută la 85 °C.

După 3 ore, temperatura a fost scăzută treptat până la temperatura camerei, agitarea menținându-se constantă. După oprirea agitației, microparticulele de polistiren au fost centrifugate și spălate de câteva ori cu o soluție de dodecil sulfat de sodiu 0,1 g %.

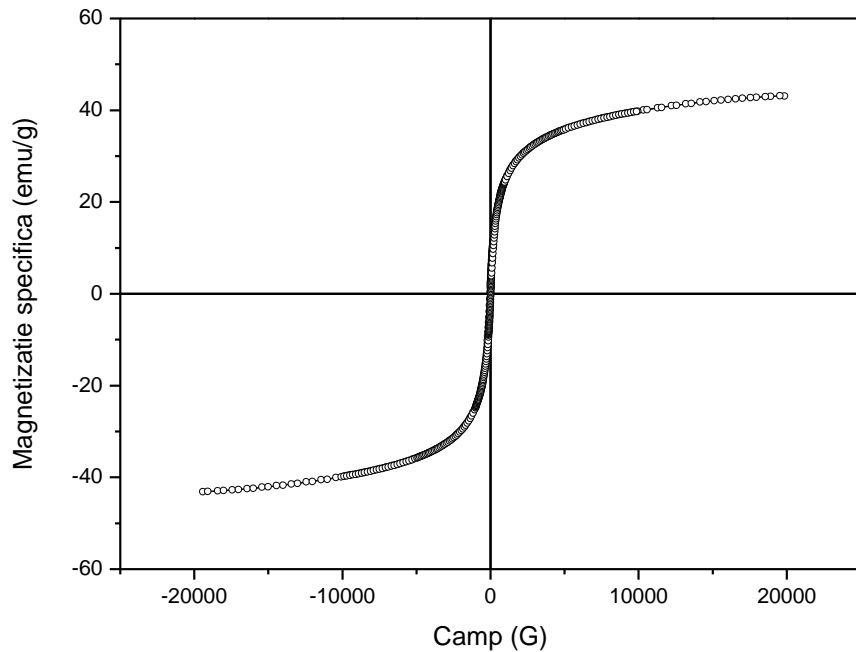
#### **Activitatea I.4. Evaluarea structurii, dimensiunii, formei și proprietăților magnetice ale particulelor obținute.**

##### **Nanoparticule magnetice**

In cazul nanoparticulelor magnetice, structura a fost determinată prin difractometrie de raze X (XRD); forma a fost evaluată prin microscopie electronică de scanare (SEM); dimensiunea a fost măsurată prin utilizarea unei metode bazate pe imprăștierea în regim dinamic a luminii (DLS); proprietățile magnetice au fost determinate cu ajutorul magnetometriei cu probă vibranta (VSM).

Magnetizarea nanoparticulelor magnetice (fig. 1) a fost măsurată cu un magnetometru cu probă vibranta Lake Shore 7410. Magnetizarea specifică de saturare, având o valoare de 46 emu/g, a fost calculată prin extrapolarea tangentei la curba obținută din dependența magnetizării, M, de inversul campului aplicat, 1/H, la campuri mari, în regiunea în care dependența M(1/H) este o linie dreaptă.

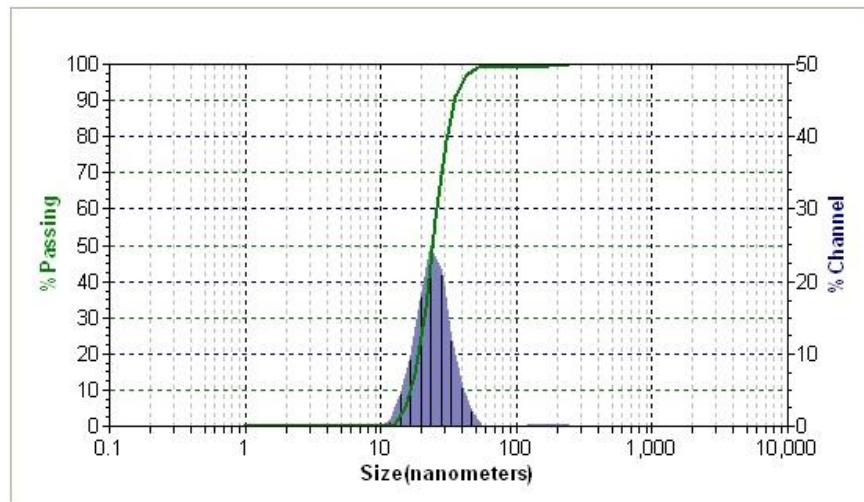
Campul coercitiv al particulelor magnetice a fost de 20 G, iar magnetizarea remanentă a fost de 1,5 emu/g, nanoparticulele apropiindu-se astfel de un comportament superparamagnetic.



**Fig.1.** Curba de histerezis a probei magnetice.

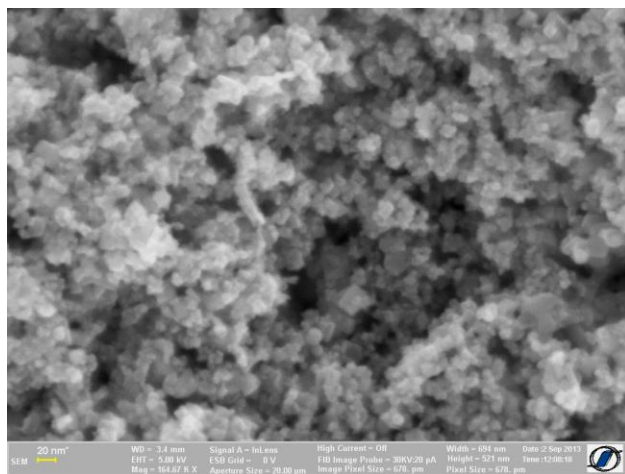
Evaluarea dimensiunii s-a realizat cu ajutorul unui analizor de particule Microtrac/Nanotrac 252.

Dimensiunea nanoparticulelor magnetice a fost cuprinsa intre 10 nm si 55 nm, marimea medie a acestora fiind de 24 nm (fig. 2).



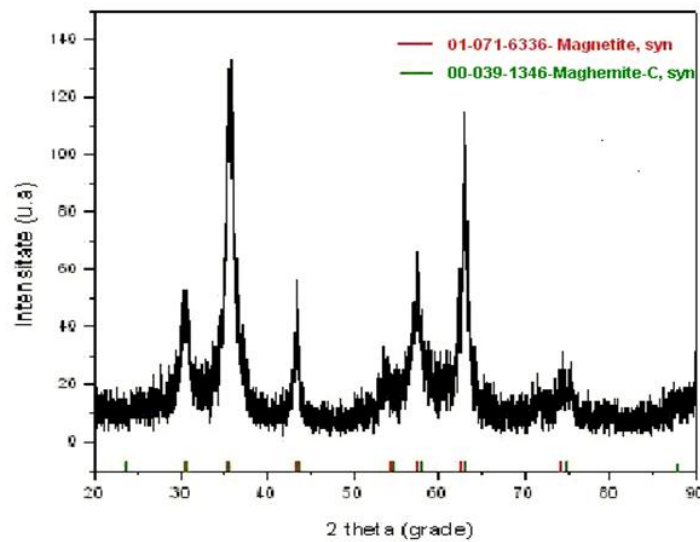
**Fig. 2.** Distributia dimensionalala a nanoparticulelor magnetice.

Forma geometrica a nanoparticulelor magnetice a fost evaluata cu ajutorul unui microscop FE-SEM / FIB, CrossBeam System Carl Zeiss NEON40EsB. Imaginele SEM (fig. 3) au aratat ca majoritatea nanoparticulelor prezinta un profil cubic/octaedric.



**Fig. 3.** Imagine de microscopie electronica de scanare a nanoparticulelor magnetice.

Spectrul XRD (fig. 4), obtinut cu un difractometru Brucker AxS D8-Advance, arata ca in proba sunt prezente atat magnetita cat si maghemita. Difractograma probei magnetice prezinta maxime de difractie specifice celor doua componente corespunzand planurilor de difractie (220), (222), (311), (400), (440), (422), (511), (533).



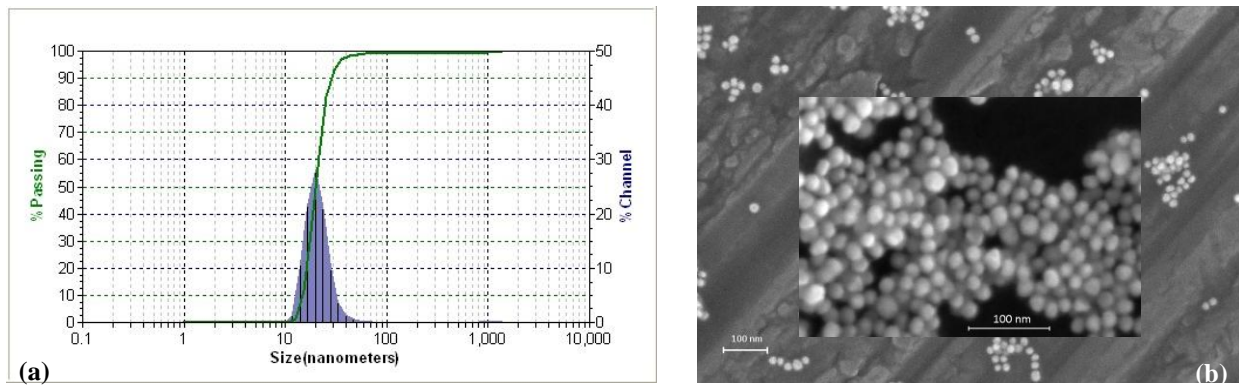
**Fig. 4.** Spectrul XRD al nanoparticulelor magnetice formate dintr-un amestec magnetita-maghemita.

Analiza XRD arata ca proba este formata din nanoparticule cristaline, avand o dimensiune medie de 8.26 nm. Dimensiunea a fost calculata cu ajutorul formulei lui Sherer.

Dat fiind ca magnetita si maghemita sunt foarte apropiate structural, este dificil de precizat puritatea probei supuse analizei XRD.

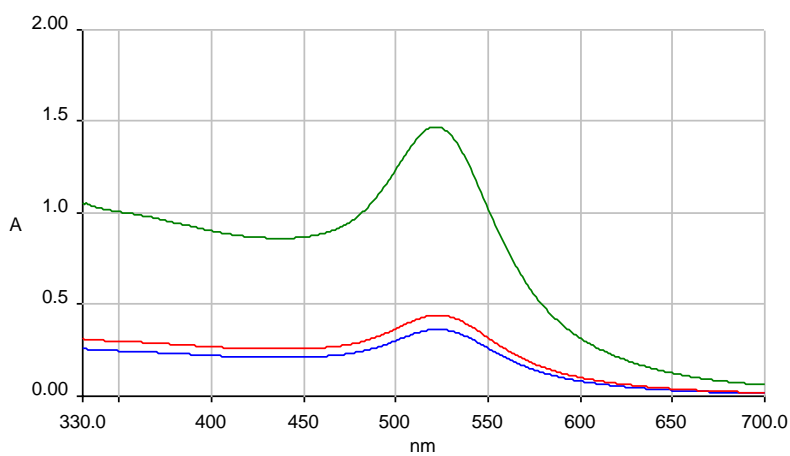
## **Nanoparticule de aur**

Masuratorile DLS au aratat o distributie gausiana a dimensiunilor nanoparticulelor, cu un domeniu dimensional cuprins intre 10 nm si 60 nm, media situandu-se in jurul valorii de 20 nm (fig. 5a), dimensiuni confirmate si de imaginile de microscopie electronica de scanare (fig. 5b).



**Fig. 5.** Distributia dupa dimensiuni a nanoparticulelor de aur (a); imagine de microscopie electronica de scanare a nanoparticulelor de aur (b).

Spectrul de absorbtie al nanoparticulelor in suspensie s-a determinat prin spectrofotometrie de absorbtie UV-VIS. Absorbanta maxima, diferita in functie de concentratia masurata, a prezentat un maxim pentru o lungime de unda de 520 nm (fig. 6), specifica nanoparticulelor de aur.



**Fig. 6.** Spectrul de absorbtie UV-VIS al nanoparticulelor de aur

## **Microparticule de polistiren**

Conform analizei dimensionale realizata prin DLS, distributia dupa marimi a microparticulelor a fost cuprinsa intre 2 micrometri si 6 micrometri (fig. 7a), profilul fiind unul gaussian. Dimensiunea medie calculata a fost de 3.35 micrometri.

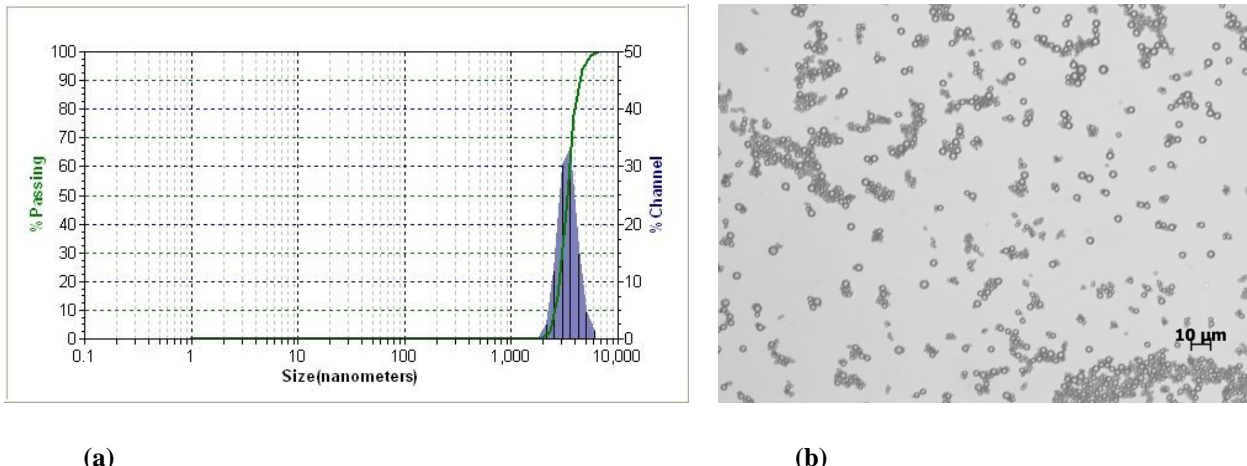


Fig. 7. Distributia dupa dimensiuni a microparticulelor de polistiren (a); imagine de microscopie optica a microparticulelor de polistiren (b).

Imaginile de microscopie optica au aratat ca microparticulele de polistiren prezinta o forma sferica (fig. 7b), confirmand si dimensiunea micrometrica a acestora.

## **Bibliografie**

1. Barlow DA, Baird JK (2004) Theory of the von Weimarn rules governing the average size of crystals precipitated from a supersaturated solution. *J Cryst Growth* 264:417–423.
2. Mohapatra S, Pramanik N, Mukherjee S, Ghosh SK, Pramanik P (2007) A simple synthesis of amine-derivatised superparamagnetic iron oxide nanoparticles for bioapplications. *J Mater Sci* 42:7566–7574.
3. Tartaj P, Morales MP, Veintemillas-Verdaguer S, Gonzalez-Carreno T, Serna CJ (2006) Synthesis, properties and biomedical applications of magnetic nanoparticles. In: Buschow KHJ (ed) *Handbook of magnetic materials*, vol 16. Elsevier, Amsterdam, p 411.
4. Von Weimarn PP (1925) The precipitation laws. *Chem Rev* 2:217.

**Etapa II. Functionalizarea microparticulelor magnetice si respective nemagnetice cu anticorpi si oligonucleotide in scopul utilizarii acestora in cadrul metodei de detectie de tip bio-barcode; Obtinerea de date experimentale privind capacitatea metodei de tip bio-barcode de a detecta si identifica concentratii foarte mici de biomolecule tinta prin microscopie de fluorescenta.**

***Activitatea II.1. Prepararea de microparticule magnetice functionalizate cu anticorpi receptor***

Anticorpii pot fi utilizati in diferite analize biologice si medicale fie in calitate de bioreceptori pentru un antigen specific, fie ca tinte. Pentru a fi utilizati ca bioreceptori, anticorpii trebuie sa fie imobilizati pe diferite suporturi solide. Calitatea analizelor este influentata semnificativ de suporturile solide deoarece acestea dicteaza nu numai eficienta imobilizarii anticorpilor, ci si gradul de legare nespecifica si accesibilitatea anticorpilor la antigen.

Imobilizarea anticorpilor este complicata insa de cateva proprietati chimice si fizice ale proteinelor. Astfel, nu exista o metoda de amplificare a proteinelor ca in cazul acizilor nucleici (metoda „polymerase chain reaction”) si, de asemenea, proteinele sunt (i) mult mai complexe din punct de vedere structural si chimic si (ii) mai heterogene decat acizii nucleici.

Prin urmare, este dificil sa se defineasca strategiile generale de imobilizare si detectie care sa nu faca discriminari intre proteine. De asemenea, trebuie precizat ca, in contrast cu acizii nucleici, proteinele isi reduc activitatea biochimica din cauza denaturarii, deshidratarii sau oxidarii.

In general, chimia functionalizarii cu anticorpi care se aplica suprafetelor cu arii mari este valabila si in cazul nano sau microparticulelor polimerice sau metalice acoperite/neacoperite cu liganzi specifici.

**Functionalizarea microparticulelor magnetice cu anticorpi anti-IgG**

In aceasta activitate a proiectului s-au utilizat microparticule magnetice acoperite cu polimer si grupari carboxilice pentru legarea anticorpilor IgG (anti-goat IgG) produsi in iepure pentru imobilizarea ulterioara a anticorpilor IgG de capra,

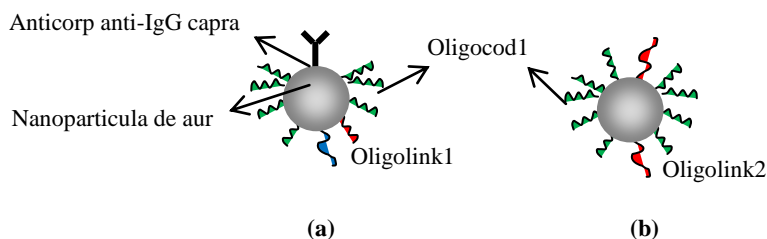
Una dintre cele mai utilizate metode de functionalizare cu anticorpi a microparticulelor magnetice acoperite cu polimer si grupari chimice de tip carboxil (COOH) are la baza utilizarea de 1-Ethyl-3-(3-dimethylaminopropyl)-carbodiimide (EDAC) care permite legarea microparticulelor de gruparile aminice ale anticorpilor.

Metoda de cuplare este descrisa punctual mai jos.

1. Microparticulele, solutia tampon de cuplare (PolyLink Coupling Buffer) si respectiv cea de spalare au fost aduse la temperatura camerei.
2. 0,5 ml din suspensia de microparticule (aproximativ 22 mg de microparticule) a fost transferata intr-un tub Eppendorf cu volumul de 2 ml.
3. Microparticulele au fost centrifugate 15 minute la 1000 G si resuspendate in 0,4 ml solutie tampon de cuplare.
4. Dupa o noua centrifugare timp de 15 minute la 1000 G, microparticulele au fost resuspendate in 0,17 ml solutie tampon de cuplare.
5. Imediat inainte de utilizare, s-a preparat o solutie de 1-Ethyl-3-(3-dimethylaminopropyl)-carbodiimide prin dizolvarea a 10 mg in 50  $\mu$ L solutie tampon de cuplare.
6. 20  $\mu$ L din solutia EDAC preparata mai sus a fost adaugata in suspensia de microparticule sub agitare blanda.
7. Dupa 15 minute de activare, s-au adaugat aproximativ 120  $\mu$ g de anticorpi anti-IgG de capra (60  $\mu$ L dintr-o solutie de anticorpi IgG, 2 mg/ml) in 0,25 ml solutie tampon de cuplare.
8. Solutia a fost agitata usor la temperatura camerei timp de 60 minute, apoi a fost centrifugata 15 minute la 1000 G.
9. In final, microparticulele au fost resuspendate in 0,4 ml solutie tampon de spalare.

**Activitatea II.2. Prepararea de nanoparticule nemagnetice functionalizate cu anticorpi receptor si oligonucleotide.**

In aceasta activitate s-au utilizez nanoparticule de aur preparate in activitatea anterioara a proiectului. S-au preparat doua tipuri de nanoparticule functionalizate: (i) nanoparticule de aur acoperite cu anticorpi receptor anti-IgG de capra si doua tipuri de oligonucleotide, precum si (ii) nanoparticule de aur acoperite numai cu oligonucleotide (Fig. 8).



**Fig. 8.** Nanoparticule de aur acoperite cu (a) anticorpi anti IgG capra si respectiv oligonucleotide Oligo1 si Oligolink1 si (b) Oligo1 si Oligolink2

**A. Prepararea de nanoparticule de aur acoperite cu anticorpi receptor**

Pentru functionalizarea nanoparticulelor acoperite cu citrat, s-au utilizat trei tipuri de oligonucleotide cu grupe terminale tiolice (Tabelul 1) care prezinta o afinitate crescuta pentru

suprafetele de aur si care pot dezlocui moleculele de citrat. Un al patrulea tip de oligonucleotide (Oligocod2) au fost marcate cu un fluorofor (AlexaFluor488) si a fost complementar cu Oligocod1 imobilizate pe nanoparticulele de aur.

**Tabelul 1.** Secventa de baze ale oligonucleotidelor imobilizate pe suprafata nanoparticulelor de aur

Name	Structura
<i>Oligocod1</i>	TAA TTC CGG TTA ATG CGG CCC AAA AAA AAA A [ThiC3];
<i>Oligocod2</i>	GGG CCG CAT TAA CCG GAA TTA[A488];
<i>Oligolink1</i>	CAG CTA GTA TGT TCC GGA ATG TAC TGT TCG GAA AAA AAA AAA AAA AA [ThiC3];
<i>Oligolink2</i>	CCG AAC AGT ACA TTC CGG AAC ATA CTA GCT GAA AAA AAA AAA AAA AA [ThiC3];

Dat fiind ca grupele tiolice (SH) sunt foarte susceptibile la oxidare, formand legaturi disulfidice (S-S), oligonucleotidele cu grupe tiol terminale au fost reconstituite inainte de utilizare. Astfel, oligonucleotidele au fost mai intai centrifugate si dispersate intr-o solutie tampon fosfat pH 7.4 (Sigma-Aldrich). Apoi, s-a adaugat DL-Dithiothreitol (DTT) la o concentratie finala de 100 mM DTT. Dupa 30 minute de incubare la temperatura camerei, s-a utilizat o coloana NAP-10 (GE Healtcare - Sigma) pentru a indeparta excesul de solutie tampon fosfat si DTT. Dupa reducerea cu DTT, oligonucleotidele *Oligocod1* si *Oligolink1* au fost utilizate impreuna cu anticorpii IgG receptor pentru functionalizarea primului tip de nanoparticulelor de aur, iar *Oligocod1* si *Oligolink2* pentru functionalizarea celui de al doilea tip de nanoparticule.

Pentru experimente, s-a utilizat o suspensie coloidală de nanoparticule de aur cu volumul de 5 ml si concentratia molara de 3,5 nM al carui pH a fost ajustat la 9 prin adaugarea de Na<sub>2</sub>CO<sub>3</sub>. Peste solutia coloidală s-au adaugat aproximativ 30 µg de anticorpi anti-imunoglobulina de capra impreuna cu 900 µl *Oligocod1* (20 µg/ml) si 100 µl *Oligolink1* (20 µg/ml), iar dupa o agitare blanda timp de 3 ore la temperatura camerei, s-a procedat la incubarea acestora peste noapte la 4 C (in frigider).

Apoi, s-au adaugat 500 µl solutie tampon fosfat (PBS - 0.01 M, pH 7.4) si 5 µl 10 % (w/v) dodecil sulfat de sodiu (SDS - surfactant anionic), agitandu-se timp de 30 minute la temperatura camerei.

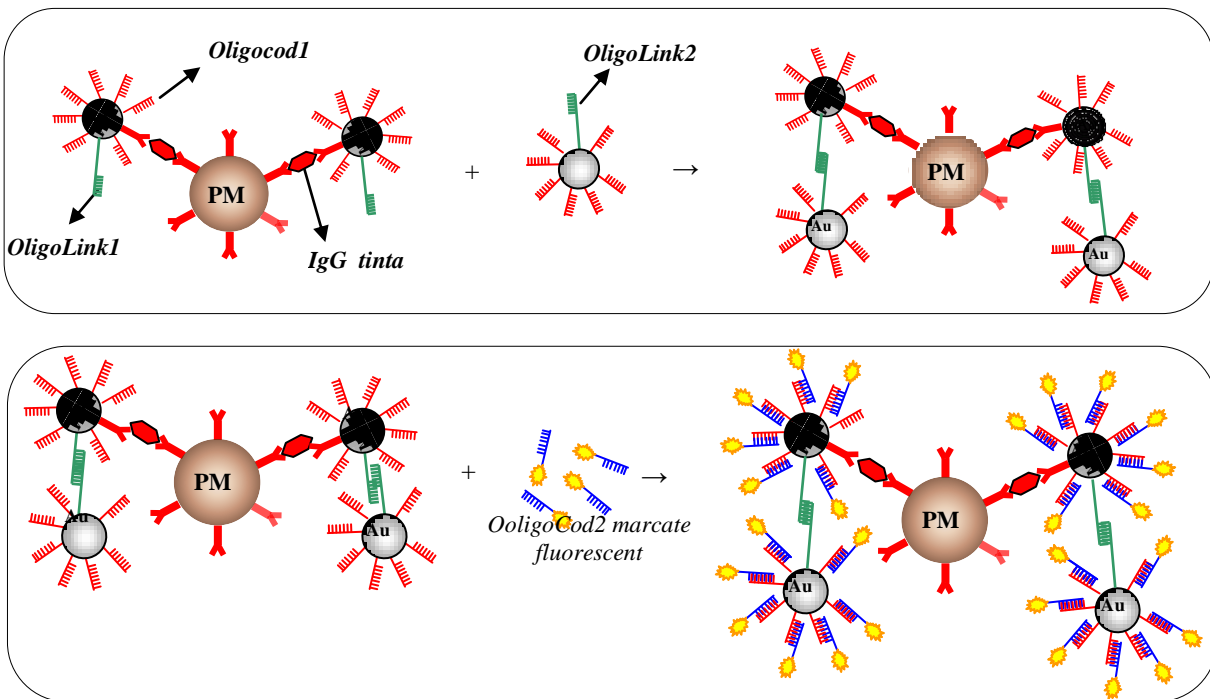
Ulterior, s-a adaugat gradual 1 ml de NaCl (1.2 M), iar dupa 3 ore s-au adaugat 0.5 ml 5% (w/v) albumina serica bovina.

Proba a fost pastrata la 4 C la intuneric pentru utilizare ulterioara.

**Activitatea II.3. Teste experimentale pentru evaluarea capacitatii metodei bio-barcode de a detecta si identifica concentratii scazute de biomolecule tinta.**

Pentru detectia anticorpilor de interes, s-a utilizat un microscop inversat cu fluorescenta (Axio Observer D1 Carl Zeiss) pentru a masura fluorescenta oligonucleotidele marcate cu AlexaFluor488.

Metoda de detectie (Fig. 9) a avut la baza utilizarea microparticulelor magnetice functionalizate cu anticorpi receptor (impotriva imunoglobulinelor IgG de capra) si a 2 tipuri de nanoparticule de aur functionalizate cu aceiasi anticorpi receptori si respectiv 2 tipuri de oligonucleotide: un tip functionand ca receptori pentru oligonucleotidele marcate cu fluorofor, in timp ce celelalte tipuri au rolul de a lega cele 2 tipuri de nanoparticule de aur.



**Fig. 9.** Principiul metodei de detectie

Dupa legarea anticorpilor IgG de capra (tinte) de catre anti-anticorpii receptori immobilizati pe microparticulele magnetice (in solutie tampon fosfat pH 7.4), complexele formate s-au separat cu ajutorul unui magnet permanent NdFeB. Apoi, s-a adaugat primul tip de nanoparticule de aur si s-a incubat la temperatura camerei, procedandu-se ulterior la separarea magnetica a noilor complexe formate.

Dupa spalare cu o solutie de tampon fosfat, s-a adaugat al doilea lot de nanoparticule de aur care s-au legat prin intermediul oligonucleotidelor complementare oligolink1 si oligolink2 si s-a procedat la o noua separare magnetica si spalare cu solutie tampon fosfat.

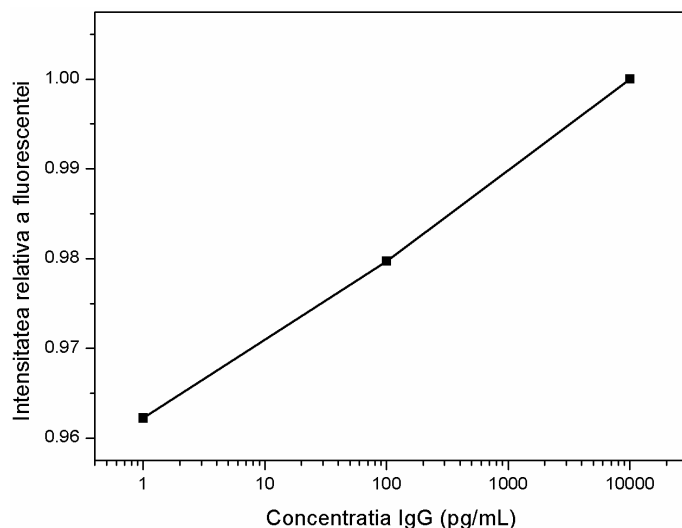
Dupa adaugarea de oligonucleotide fluorescente oligocod2, separare magnetica si spalare

cu tampon fosfat, in suspensia de particule s-a adaugat o solutie de dithiothreitol 100 mM in scopul dezlocuirii oligonucleotidelor de pe suprafata de aur. Dupa separarea magnetica a microparticulelor magnetice, probele provenind din solutia cu oligonucleotide fluorescente (dispersate intre 2 lamele transparente) a fost citita la microscopul cu fluorescenta Zeiss.

Intensitatea fluorescenta din imaginile obtinute la microscop (fig 11) a fost calculata folosind un program de procesare si analiza a imaginii [1], ImageJ (<http://imagej.nih.gov/ij/>).



**Fig. 11.** Imagini de fluorescenta pentru oligonucleotidele oligocod2 fluorescente provenind din doua probe diferite.



**Fig.12.** Dependenta intensitatii relative a fluorescentei in functie de concentratia de IgG de capra (imunoglobulinele tinta)

Dependenta intensitatii relative a fluorescentei in functie de concentratiile de IgG tinta (1 pg/mL,  $10^2$  pg/mL si  $10^4$  pg/mL) a fost liniara (Fig. 12) pe o scara logaritmica, metoda permitand detectii de biomolecule tinta aflate in concentratii scazute, in etapa urmatoare a proiectului, conform Planului de realizare, procedandu-se la stabilirea limitei de detectie a acestei metode.

**Etapa III.** a) Obtinerea de date experimentale privind capacitatea metodei de tip bio-barcode de a detecta si identifica concentratii foarte mici de biomolecule tinta prin microscopie de fluorescenta (continuarea obiectivului din 2014); (b) Functionalizarea microparticulelor nemagnetice si respectiv a celor magnetice cu anticorpi receptor in scopul utilizarii acestora in cadrul metodei de detectie bazata pe procese optice si magnetice; (c) Date experimentale privind capacitatea metodei respective de a detecta biomolecule tinta.

**Activitatea III.1. Experimente pentru stabilirea limitei de detectie si a sensibilitatii metodei de tip bio-barcode (activitate preluata din anul 2014).**

Pentru detectia anticorpilor tinta, s-a utilizat un microscop inversat cu fluorescenta (Evos FL Imaging System) pentru a masura fluorescenta oligonucleotidele marcate cu AlexaFluor488.

Metoda de detectie a utilizat acelasi protocol ca in activitatile precedente, utilizand microparticule magnetice functionalizate cu anticorpi receptor (impotriva imunoglobulinelor IgG de capra) si 2 tipuri de nanoparticule de aur functionalizate cu aceiasi anticorpi receptorii si respectiv 2 tipuri de oligonucleotide: un tip functionand ca receptori pentru oligonucleotidele marcate cu fluorofor, in timp ce celelalte tipuri au avut rolul de a lega cele 2 tipuri de nanoparticule de aur.

Intensitatea fluorescentei din imaginile obtinute la microscop a fost calculata folosind programul de procesare si analiza a imaginii ImageJ.

Dependenta intensitatii relative a fluorescentei in functie de concentratiile de IgG tinta ( $10^4$  -  $10^4$  pg/mL) a crescut liniar, pe o scara logaritmica, pentru concentratii  $1-10^4$  pg/mL, limita de detectie, de 1 pg/mL, obtinuta in activitatatile precedente, neputand fi scazuta.

**Activitatea III.2. Prepararea de microparticule nemagnetice functionalizate cu anticorpi receptor.**

*Legarea fizica a IgG de capra la suprafata microparticulelor de polistiren (PSb)*

0.35 mg IgG de captura au fost dizolvate in 0.2 mL solutie tampon de cuplare (STC - 50 mM MES, pH 5.2, 0.05 % Proclin-300), iar solutia a fost agitata la temperatura camerei timp de 30 min. O suspensie de PSb ( $20 \mu\text{L}$  -  $4.4 \times 10^8$  particule) a fost dispersata in 0.2 mL STC, ultrasonata, spalata de 2 ori cu STC si reconstituita in 1.5 mL TC. Suspensia astfel obtinuta a fost adaugata peste o solutie de anticorpi IgG sub agitare la 250 rpm timp de 40 min. Proba a fost tinuta la frigider ( $4^\circ\text{C}$ ), apoi centrifugata la 650 xg, spalata de 4 ori in albumina serica bovina (BSA – 2 mg/mL) si reconstituita in 2 mL solutie tampon de spalare (STS - 10 mM Tris, pH 8, 0.05% Bovine Serum Albumine, 0.05 % Proclin-300).

Anticorpii de captura IgG au fost imobilizati fizic pe suprafata hidrofobica a particulelor

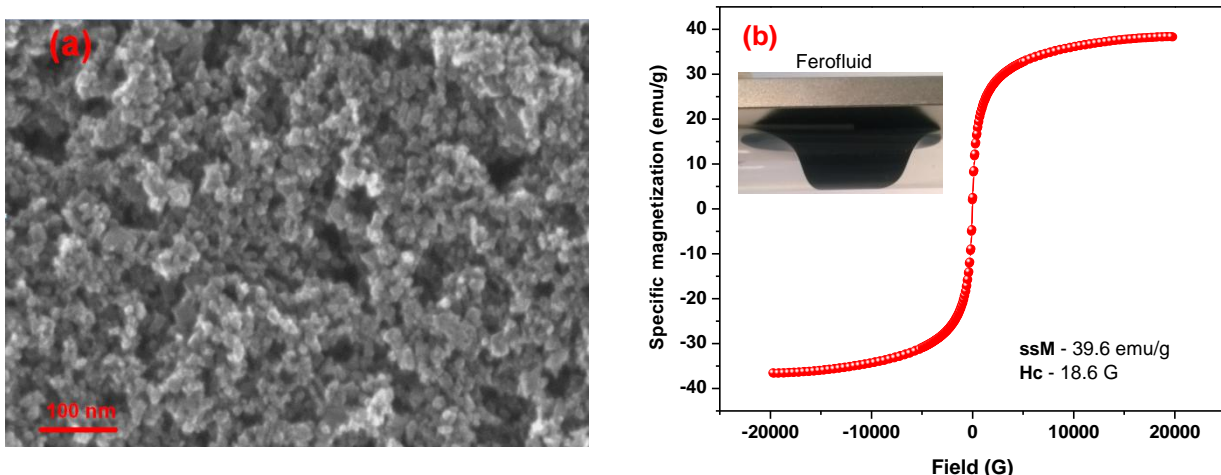
de polistiren urmand partial protocolul recomandat de compania Bangs Laboratories pentru adsorbția fizică, utilizând solutii tampon.

La începutul procesului, legarea anticorpilor IgG la suprafața PSb a condus la o parțială aglomerare a acestora, însă după spalare și resuspendare în soluție de albumina serică bovină (BSA), microparticulele s-au dispersat eficient. Acest comportament poate fi explicat prin acoperirea incompleta a particulelor de polistiren cu IgG și acoperirea ulterioră integrală cu molecule de BSA care a condus la stabilizarea lor sterică.

### ***Activitatea III.3. Prepararea de nanoparticule magnetice functionalizate cu anticorpi receptor.***

*Adsorbția fizică a anticorpilor IgG la suprafața nanoparticulelor magnetice (NPs).*

50  $\mu$ L ferofluid (continând 1.5 mg magnetita cu dimensiuni sub 20 nm și magnetizare de saturatie de aproximativ 40 emu/g – Fig 13) a fost mixată 1h la 1200 rpm cu 1.5 mg anticorpi IgG (în 1.9 mL apă distilată, pH 6.2) și 1 h la 200 rpm. Proba a fost pastrată în frigider peste noapte ( $4^{\circ}$ C), centrifugată la 500 xg, extragând de fiecare dată particulele nesedimentate care au fost centrifugate din nou la maximum 2000 xg, spălate de cinci ori în soluție BSA (2 mg/mL), reconstituite în 2 mL în BSA și amestecate din nou 1 ora.



**Fig. 13.** Imagine SEM a nanoparticulelor magnetice (a) și magnetizarea specifică a acestora (b).

Acoperirea prin adsorbție fizică a NPs cu anticorpi IgG de captură a fost realizată în apă distilată (pH 6.2). Acoperirea în absența unei soluții taponate a impiedicat o potențială aglomerare induată electrostatică prin prezența ionilor din soluția tampon. În consecință, NPs au format o suspensie foarte stabila atât înainte cât și după conjugarea cu anticorpi. Totuși, dând fiind faptul că stabilitatea pe termen lung a anticorpilor imobilizați fizic nu este foarte bună, aceasta abordare a fost exploatață cu grijă.

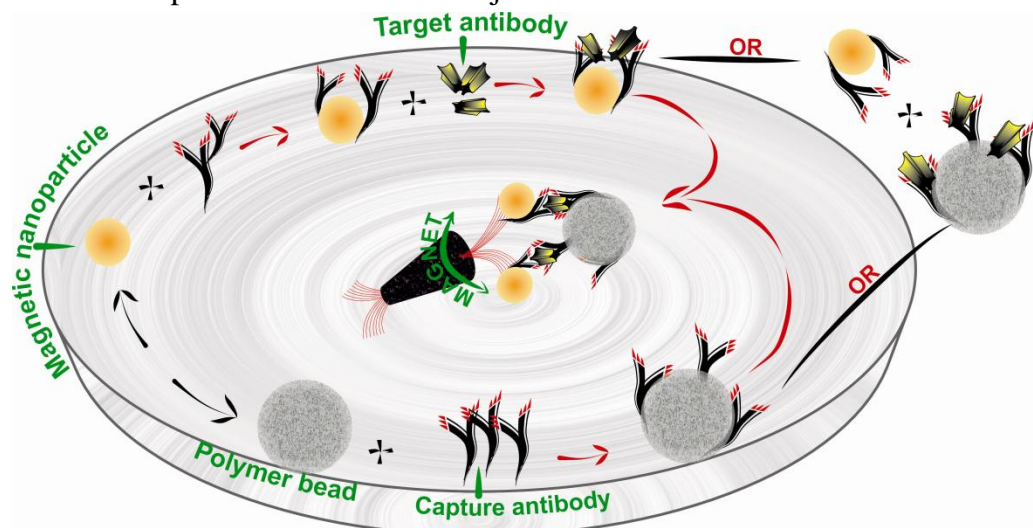
*Imobilizarea covalenta a anticorpilor IgG la suprafata particulelor magnetice pe baza de polimer (MagB - 0,88 µm in diametru).*

Pentru a acoperi cu IgG particulele magnetice (ProMag™ 1 Series), am urmat protocolul recomandat de compania producătoare (Bangs Laboratories, Inc.). Totuși, am redus de 25 de ori concentrațiile de reactanți/particule recomandate pentru a evita aglomerarea particulelor. Astfel, MagB (20 µL) au fost spalate în 0.2 mL soluție tampon de cuplare (STC), ultrasonate scurt, separate magnetic și reconstituite în 1.6 mL STC. Peste suspensia de MagB s-au adăugat de 20 µL soluție EDAC (200 mg/mL) și agitate. Apoi, s-au adăugat 0.3 mg IgG și s-a lăsat la incubat 1h în condiții de agitare blanda. Proba a fost tinută la frigider peste noapte, spălată de 5 ori în STS și reconstituată în 2 mL în STS. În final, s-a aplicat un scurt tratament de ultrasonare (5 pulsuri, 20 % amplitudine, frecvență de aproximativ 0.2 cycles/s).

#### *Activitatea III.4. Evaluarea capacității metodei de detectie bazată pe procese optice și magnetice de a detecta și identifica biomolecule tinta.*

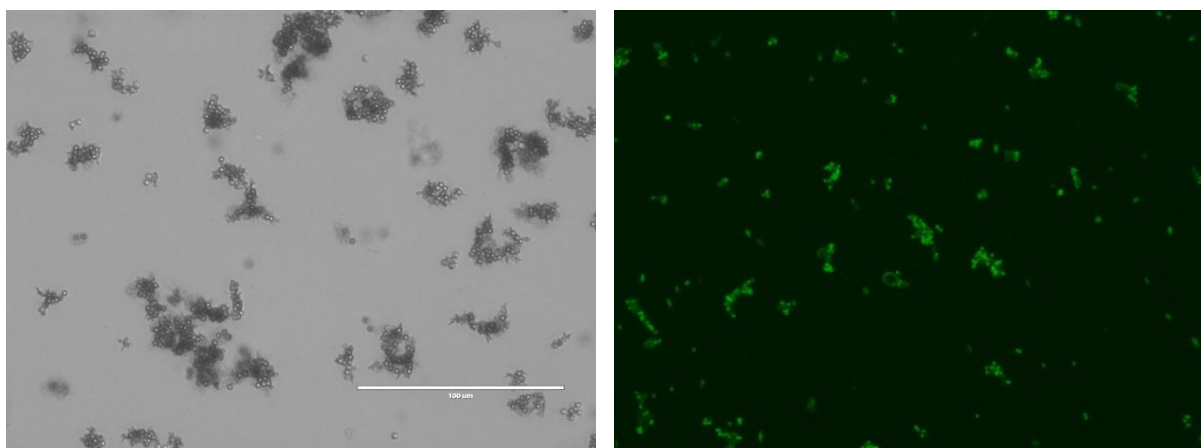
Principalele componențe ale metodei de imunodetectie au fost următoarele: particule magnetice (NPs sau 0.88 µm MagB) acoperite cu anticorpi de captură (IgG); (b) anticorpi anti-IgG functionând ca *tinte* și (c) particule polistiren (PSb) de 2 µm acoperite fizic cu anticorpi de captură.

Pentru a demonstra funcționalitatea noii metode de detectie, ideea initială a fost ca mai întâi să se realizeze separarea magnetică a complexelor NPs-anticorpi-PSb de PSb nelegate iar apoi să se verifice prin microscopie optică incidentă microparticulelor legate de NPs. Intregul lanț de detectie este prezentat schematic mai jos.



**Fig. 14.** Reprezentarea schematică a procesului de detectie. Tintele pot fi prinse de către particule magnetice invizibile sau puțin vizibile la microscopul optic (sferele galbene) sau de către particulele polimerice nemagnetice (sferele gri), proces urmat de legarea celor tipuri de particule și separare magnetică. În final, structurile separate se observă la microscopul optic.

De fiecare data insa, datorita NPs acoperite de IgG tinta care au legat doua sau mai multe PSb acoperite cu IgG de captura s-au format clustere de microparticule (2-20 microparticule/cluster) usor vizibile la microscopul optic (Fig. 15). Aceasta configuratie a fost foarte convenabila pentru verificarea rotatiei lor ca un intreg in camp magnetic fara a fi necesara o separare magnetica preliminara. Altfel, daca nu sunt formate clustere, din cauza formei sferice perfecte, rotatia unei singure microparticule de polistiren, chiar daca este acoperita cu NPs invizibile la microscopul optic, ar fi dificil de observant, iar detectia imunocomplexelor ar esua. Daca insa s-ar utiliza microparticule cu alte forme geometrice, atunci si rotatia unei singure microparticule ar putea fi observata.



**Fig. 15.** Imagine de microscopie optica a clusterelor de microparticule PSb si MagB in prezenta anticorpilor tinta (a - bright field, iar b - fluorescenta).

In cazul utilizarii de MagB vizibile, rotatia unei singure PSB legata de o singura MagB poate fi observata cu usurinta.

#### ***Detectia anticorpilor tinta fara separare (magnetica).***

Intr-o prima abordare, marcherii optici (PSb) au fost amestecati cu anticorpii tinta, anti-IgG. Dupa incubarea cu NPs, probele au fost analizate la microscopul optic, observandu-se clustere de microparticule nemagnetice, PSb, de polistiren care, in prezenta campurilor magnetice variabile s-au putut roti sau deplasa, indicand faptul ca NPs, prin intermediul anticorpilor IgG tinta, s-au legat de PSb, confirmand succesul metodei de detectie.

S-a observant si o legare nespecifica redusa in probele de control atunci cand particulele magnetice acoperite cu IgG de captura au fost incubate doar cu PSb, acoperite cu anticorpi IgG de captura, in solutie tampon salina fara BSA deoarece, in acest caz, probabilitatea de desprindere/eliberaare in solutia tampon a moleculelor de BSA legate fizic a fost crescuta, reducandu-se stabilizarea sterica a particulelor. Totusi, legarea nespecifica a fost inca observata si in solutia tampon continand BSA, dar intr-un grad mult mai redus.

Pe de alta parte, in functie de intensitatea campului magnetic, NPs au format lanturi fie

stationare, aliniate dupa liniile campului magnetic, fie dinamice, rapid atrase spre magnet, inducand deplasare tuturor particulelor polimerice PSb. Deoarece NPs, organizate in lanturi, au sedimentat pe suprafata lamei microscopului, atunci cand au fost atrase spre magnet, au impins neuniform mediul lichid, fortand formarea a doua fluxuri turbulente suprapuse, continand PSb, care s-au deplasat in mod contrar una fata de cealalta. In acest caz, in lipsa formarii clusterelor, deplasarea PSb poate fi considerata ca rezultat pozitiv si, prin urmare, o separare magnetic a tintelor, urmata de separarea magnetica a complexelor NPs-PSb, devine obligatorie.

Atunci cand s-au utilizat MagB in locul NPs, deplasarea PSb singulare nu a mai constituit o problema, dat fiind ca PSb au putut fi clar vazute a fi legate sau nu de MagB aflate in miscare.

#### ***Detectia anticorpilor tinta dupa separarea magnetica a acestora***

Daca se aplica o separare magnetica a anticorpilor tinta, probabilitatea de blocare a anticorpilor de captura cu tinte libere de pe suprafata PSb este foarte redusa, permitand prin urmare doar legarea tintelor anterior prinse si separate prin intermediul particulelor magnetice.

Pe de alta parte, formarea clusterelor depinde de raportul dintre numarul de tinte si de anticorpii de captura disponibili pe suprafata particulelor magnetice. Daca se dezvolta un process de aglomerare, acesta poate fi usor observat microscopic, indicand un rezultat pozitiv al imunotestului. Daca nu se observa nici un cluster, este nevoie de PSb pentru validarea evenimentul imunologic de legare.

In general, in majoritatea testelor, s-a observat o distributie mai fina a clusterelor atunci cand nu s-a aplicat separarea magnetica a tintelor si, in special, atunci cand au fost utilizate particule magnetice de  $0.88 \mu\text{m}$ .

In cazul in care exista vreo incertitudine privind incidenta PSb legate de particulele magnetice in imunocomplexe, se poate verifica fluorescenta acestora dat fiind ca polistirenul este intrinsec fluorescent (Fig. 15). Totusi, acest lucru este potrivit doar daca transportorii magnetici invizibil sau putin vizibili microscopic nu sunt fluorescenti asa cum este cazul nanoparticulelor de magnetita.

#### ***Activitatile III.5 si III.6. Evaluarea gradului de reproductibilitate a metodei bazata pe procese optice si magnetice; teste pentru stabilirea limitei de detectie si a sensibilitatii metodei bazata pe procese optice si magnetice.***

Pentru evaluarea reproductibilitatii metodei bazata pe procese optice si magnetice, experimentele s-au repeatat de trei ori in aceleasi conditii. In cazul acestor teste, s-a luat in considerare numai o singura concentratie de anticorpi anti-IgG, si anume 10 µg/mL.

Clusterele de microparticule s-au format de fiecare data cu success, iar prin rotirea acestora cu ajutorul campului magnetic generat de un magnet permanent NdFeB a fost confirmat faptul ca anticorpii tinta au fost prinsi intre cele doua tipuri de particule.

In ceea ce priveste limita de detectie, chiar daca metoda s-a dovedit a fi una mai mult calitativa, s-au efectuat experimente prin care sa se evaluateze si concentratia minima a anticorpilor tinta care inca mai poate fi detectata, utilizand aceleasi conditii experimentale ca in activitatile precedente.

#### *Stabilirea limitei de detectie a anticorpilor anti-IgG prin intermediul NPs*

2.5 µL de PSb au fost dispersati in PBS (6 probe, 100 µL fiecare) continand BSA (2 mg/mL) si anticorpi tinta in concentratii variind intre 0.1 – 10<sup>-7</sup> µg/µL. Dupa 30 min de agitare la 200 rpm, s-au adaugat NPs (5 µL suspensie) acoperite cu anticorpi anti-IgG, agitandu-se inca 30 min.

Intr-o abordare inversa, NPs au fost amestecate cu anticorpii tinta, procedandu-se apoi la separarea magnetica a tintelor.

In ambele situatii, limita de detectie a fost de 0.1 ng/µL.

#### *Stabilirea limitei de detectie a anticorpilor anti-IgG prin intermediul MagB*

PSb (2.5 µL) au fost dispersate in PBS (6 probe, 100 µL fiecare) continand BSA (2 mg/mL) si anticorpi tinta in concentratii variind intre 0.1 – 10<sup>-7</sup> µg/µL. Dupa 30 min de agitare la 200 rpm, s-au adaugat Magb (5 µL suspensie) acoperite cu anticorpi anti-IgG, agitandu-se inca 30 min.

Si in acest caz am testat solutia inversa bazata pe separarea magnetica preliminara a tintelor, identic ca pentru NPs.

In cazul in care s-a aplicat separarea magnetica a anticorpilor tinta, limita de detectie a fost de 0.1 ng/µL, iar fara separare magnetica, 10 pg/µL.

In concluzie, toate activitatile si obiectivele propuse pentru toata perioada de executie a proiectului au fost realizate cu succes.

Director proiect,  
Dr. Dumitru-Daniel Herea